

- Description conjecturale des configurations centrales dans le problème planaire des 4 corps.

J. C. Yoccoz

## 1. Configurations centrales.

### 1.1 Définitions et notations.

Soyent  $\nu$  un entier  $\geq 1$ ,  $n$  un entier  $\geq 2$ ,  $m_1, \dots, m_n$  des masses positives (avec  $\sum m_i = 1$ ), de positions respectives  $r_1, \dots, r_n$  dans  $\mathbb{R}^\nu$ . On pose:  $r = (r_1, \dots, r_n) \in (\mathbb{R}^\nu)^n$ . On définit

$$\Delta_{ij} = \{r \in (\mathbb{R}^\nu)^n, r_i = r_j\}$$

$$\Delta = \bigcup_{i < j} \Delta_{ij}$$

$$r_{ij} = \|r_i - r_j\|, \quad R_{ij} = r_{ij}^2$$

$$U(r) = \sum_{i < j} m_i m_j r_{ij}^{-1}, \quad r \in (\mathbb{R}^\nu)^n - \Delta.$$

$$I(r) = \frac{1}{2} \sum_{i < j} m_i m_j r_{ij}^2$$

On note  $O$  le groupe  $O(\mathbb{R}^\nu)$ ,  $O^+$  le sous-groupe  $SO(\mathbb{R}^\nu)$ ,  $A$  le groupe affine de  $\mathbb{R}^\nu$ ,  ~~$A^+$  le sous-groupe préservant~~  $H$  le groupe des homothéties centrées en  $O$ ,  $T$  le groupe des translations,  $G$  (resp  $G^+$ ) le groupe engendré par  $O$  (resp  $O^+$ ) et  $H$ . Ces groupes agissent sur  $(\mathbb{R}^\nu)^n$ .

Définitions. Une configuration est un point de  $(\mathbb{R}^\nu)^n - \Delta$ , une configuration  $r$  est centrée si  $\sum m_i r_i = 0$ ; une configuration conforme est une orbite pour l'action de  $G^+$  sur l'espace des configurations centrées. Une configuration affine est une orbite de l'action de  $A$  dans l'espace des configurations.

Définition: Une configuration est centrale s'il existe  $\lambda \in \mathbb{R}$  tel qu'on ait  $\forall$  pour  $1 \leq i \leq n$

$$\lambda m_i r_i = - \text{grad}_i U(r) = \sum_{j \neq i} m_i m_j \frac{r_i - r_j}{r_{ij}^3}$$

1.2 Toute configuration centrale est centrée. Si  $r$  est centrale et  $g \in G$ ,  $g.r$  est centrale.

Les conditions suivantes sur la configuration centrée  $r$  sont équivalentes.

- (i)  $r$  est centrale
- (ii)  $r$  est point critique de  $U I^{1/2}$
- (iii)  $r$  est point critique de la restriction de  $U$  (resp.  $I$ ) à l'hypersurface  $I(s) = I(r)$  (resp.  $U(s) = U(r)$ )
- (iv) il existe  $h \in H$  tel que  $h.r$  soit point critique de  $F = U + I$ .

Le principal problème ouvert est le suivant:

Conjecture: Pour toutes valeurs des masses, il n'y a qu'un nombre fini de configurations conformes centrales.

Définition Une configuration  $r$  est génératrice si  $r_1, \dots, r_n$  engendrent  $\mathbb{R}^n$  comme espace affine. On a alors  $n \geq \nu + 1$ .

Lemme (Univral). Les configurations centrales contenues dans  $\mathbb{R}^{\nu-1}$  sont les configurations centrales de  $\mathbb{R}^{\nu-1}$ .

On pourra donc se limiter ~~aux cas~~ à l'étude des configurations génératrices, en supposant en particulier qu'on a  $1 \leq \nu \leq n-1$ .

Les seuls cas complètement équilibrés, qui sont très élémentaires, sont  $\nu = 1$  et  $\nu = n - 1$ .

1.3 Configurations collinéaires (Euler-Muller) : le cas  $\nu = 1$ .

d'espèce des configurations possède  $n!$  composantes connexes; suffi-  
-sous par exemple qu'on ait  $r_1 < \dots < r_n$ . On a alors

$$r_{ij} + r_{jk} = r_{ik} \quad \text{si } i < j < k;$$

reciproquement la donnée de  $\frac{n(n-1)}{2}$  nombres  $x_{ij} > 0$  soumis à ces relations  $\alpha$  détermine une configuration centrée-unique.

Dans l'octant  $U = \{x = (x_{ij})_{1 \leq i < j \leq n}, x_{ij} > 0\}$  de  $\mathbb{R}^{\frac{n(n-1)}{2}}$ ,

la fonction  $F(x) = \sum_{i < j} m_i m_j (\frac{1}{2} x_{ij}^2 + x_{ij}^{-1})$  est strictement convexe et propre. Sa restriction au sous-espace linéaire déterminé par les relations  $\alpha$  détermine a les mêmes propriétés, en particulier un unique point critique qui est un minimum non dégénéré.

En conclusion, chaque composante connexe de l'espèce des configurations contient exactement une configuration conforme centrée.

1.4. Le cas  $\nu = n - 1$  (Lagrange)

Si  $r = (r_1, \dots, r_n)$  est génératrice et point critique de  $F(r) = \sum_{i < j} m_i m_j (\frac{1}{2} r_{ij}^2 + r_{ij}^{-1})$ , on doit avoir  $r_{ij} = 1$  pour tous  $1 \leq i < j \leq n$  car les  $r_{ij}$  sont des variables indépendantes au voisinage de  $r$ . On obtient donc deux (à cause de l'orientation) configurations conformes centrales où les masses sont aux sommets d'un simplexe régulier.

1.5. Configurations affines.

On suppose qu'on a  $1 \leq \nu \leq n-1$ . Notons  $\mathcal{C}$  l'espace ouvert de  $(\mathbb{R}^n)^n$  formé des configurations génératrices,  $\mathcal{Q}$  l'espace des formes quadratiques sur  $\mathbb{R}^n$ ,  $\mathcal{Q}^+$  l'espace ouvert des formes quadratiques définies positives.

Soit  $r \in \mathcal{C}$ ; on pose.

$$\Sigma = \{ \lambda = (\lambda_1, \dots, \lambda_n) \in \mathbb{R}^n, \sum \lambda_i = 0 \}.$$

$$u_r : \Sigma \rightarrow \mathbb{R}^n \quad u_r(\lambda) = \sum \lambda_i r_i$$

$$J_r = \text{Ker } u_r.$$

$$q_r : \mathcal{Q} \rightarrow \mathbb{R}^{\frac{n(n-1)}{2}} \quad q_r(T) = (T(r_i - r_j))_{1 \leq i < j \leq n}$$

$$L_r = \text{Im } q_r$$

Comme  $r$  est génératrice,  $u_r$  est surjective et  $q_r$  est injective. De plus, pour  $r, r' \in \mathcal{C}$ , on a  $J_r = J_{r'}$  si et seulement si  $r$  et  $r'$  appartiennent à la même orbite de l'action de  $A$ .

Le quotient  $\mathcal{C}/A$  s'identifie donc (via l'application  $r \rightarrow J_r$ ) à  $\mathbb{G}_{n-1-\nu}^{n-1}$ . De même  $L_r$  ne dépend que de l'orbite de l'action de  $A$ .

Considérons le fibré : 
$$\begin{array}{c} E \\ \downarrow \\ \mathbb{G}_{n-1-\nu}^{n-1} \end{array}, \text{ sous-fibré du fibré}$$

total  $\mathbb{R}^{\frac{n(n-1)}{2}} \times \mathbb{G}_{n-1-\nu}^{n-1}$  dont la fibre en la classe de  $r$  est  $L_r$ . Notons  $E^+$  l'ouvert de  $E$  qui est égal à  $(U \times \mathbb{G}_{n-1-\nu}^{n-1}) \cap E$  (cf 1.3), et  $E^{++}$  l'ouvert de  $E$  qui coupe la fibre en la classe de  $r$  suivant  $q_r(\mathcal{Q}^+)$ .

(5)

On a  $E^{++} \subset E^+$ . L'espace des configurations conformes s'identifie à deux copies de  $E^+$  (orientation). La fonction

$$F(x_{ij}) = \sum_{i < j} u_{ij} \left( \frac{1}{2} x_{ij} + x_{ij}^{-1/2} \right)$$

est strictement convexe et propre sur  $\mathbb{R}^{n(n-1)/2}$  dans  $U$ , donc sa restriction à  $L_r \cap U$  (pour tout  $r \in \mathbb{C}$ ) a les mêmes propriétés, en particulier possède un unique point critique qui est un minimum non dégénéré.

On a vu que  $\mathcal{E}/A$  s'identifie à un ouvert dense  $\mathcal{V}$  de  $\mathbb{G}_{n-1-\nu}^{n-1}$ , plus précisément au complémentaire dans  $\mathbb{G}_{n-1-\nu}^{n-1}$  de  $\frac{u(u-1)}{2}$  sous-variétés de codimension  $\nu$  (correspondant à  $\mathbb{A}^1 = \mathbb{R}$ ). La fonction sur  $\mathcal{V}$  qui associe à  $r$  le minimum de  $F$  dans  $L_r \cap U$  est analytique réelle et il s'agit de déterminer ses points critiques.

Remarque. L'avantage de cette "réduction affine" est qu'elle permet de passer de l'espace des configurations conformes (de dimension  $(n-1)\nu - \frac{u(u-1)}{2}$ ) à la grassmannienne  $\mathbb{G}_{n-1-\nu}^{n-1}$  (de dimension  $\nu(n-1-\nu)$ ) donc de limiter la complexité (du point de vue de la théorie des singularités) des points critiques rencontrés. Le gros inconvénient de cette réduction est qu'elle n'est pas explicite : la fonction considérée sur la grassmannienne n'est plus donnée par une formule explicite. Il faut aussi vérifier que tous les points critiques de  $F$  dans  $E^+$  se trouvent dans  $E^{++}$  (ou déterminer s'ils le sont...)

1.6. Exemple. le cas  $n=4, s=2$ .

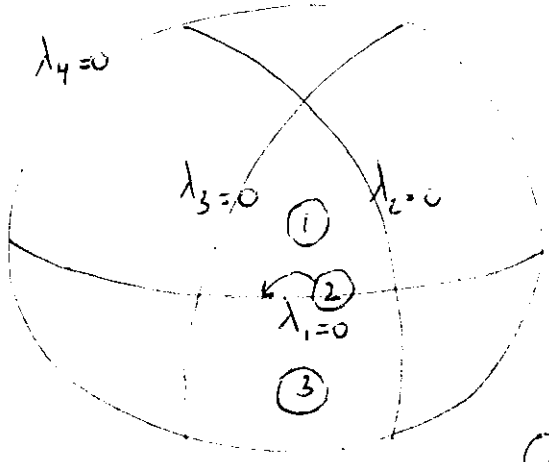
D'après 1.3, 1.4, c'est le premier cas non trivial.

L'espace des configurations affines s'identifie à  $\mathbb{C}P^2$  privé de 6 droites (en identifiant  $\mathbb{R}^2$  à  $\mathbb{C}$ ,  $\mathbb{C}^+$  s'identifie à  $\mathbb{C}^*$ , et on a  $\sum m_i = 0$ ; les six droites correspondent aux  $\Delta_{ij}$ ).

La réduction affine permet de se ramener à  $\mathbb{R}P^2 (= \mathbb{C}P^1)$  privé de 6 points, et plus précisément à l'espace projectif  $\mathbb{P}(\Sigma)$  privé de 6 points (où  $\Sigma = \lambda = (\lambda_1, \lambda_2, \lambda_3, \lambda_4)$ ,  $\sum \lambda_i = 1$ ).

Les droites  $\lambda_i = 0$  dans  $\mathbb{P}(\Sigma)$  définissent une décomposition cellulaire dont l'interprétation géométrique est facile; par exemple:

$\mathbb{P}(\Sigma)$  (on identifie les points antipodaux du cercle extérieur)

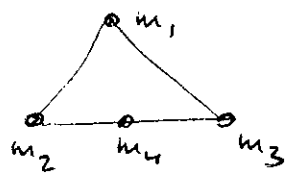


①  $\lambda_1 > 0, \lambda_2 > 0, \lambda_3 > 0, \lambda_4 < 0$ : la masse  $m_4$  est à l'intérieur du triangle formé par les trois autres (cas triangulaire)



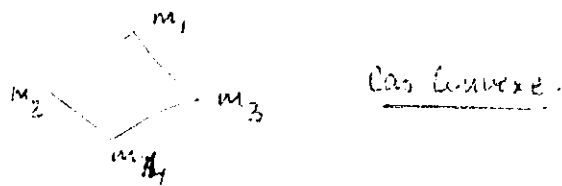
② ~~lambda\_1 > 0~~  $\lambda_2 > 0, \lambda_3 > 0, \lambda_4 < 0, \lambda_1 = 0$

$m_4$  est sur le segment  $m_2 m_3$ : (cas casahgne')



③  $\lambda_2 > 0, \lambda_3 > 0, \lambda_1 < 0, \lambda_4 < 0$

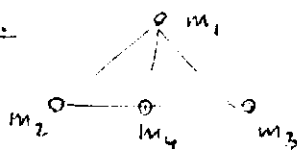
le quadrilatère formé par les masses est convexe, les  $\lambda_i$  de même signe correspondant à des moments opposés -



2. Description conjecturale des configurations centrales ( $n=4, \omega=2$ )  
(génératrice),

2.1 Lemme. Une configuration centrale n'est jamais oblique -

Démonstration.



Un mouvement transverse au segment  $m_2 m_3$  de la masse  $m_i$  ( $i=2,3,4$ )

fait varier au premier ordre la distance  $r_{i2}$  sans affecter (au premier ordre) les autres distances. Si  $r$  est tout critique de

$$F(r) = \sum_{i < j} m_i m_j \left( \frac{1}{2} r_{ij}^2 + r_{ij}^{-1} \right), \text{ on a donc}$$

$$r_{12} = r_{13} = r_{14} = 1, \text{ une impossibilité.} \quad \square$$

2.2 Equation du lieu des configurations centrales (lorsque les masses varient) (cf Mosker).  
Une configuration génératrice qui est tout critique de  $F$

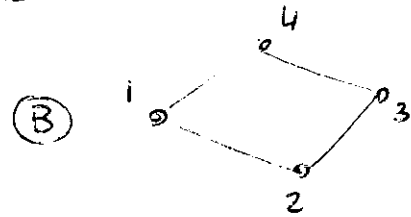
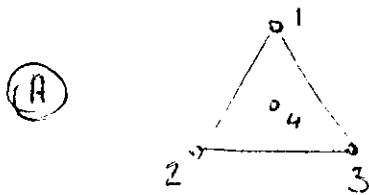
vérifie:

$$(1 - r_{12}^{-3})(1 - r_{34}^{-3}) = (1 - r_{13}^{-3})(1 - r_{24}^{-3}) = (1 - r_{14}^{-3})(1 - r_{23}^{-3})$$

(C'est un calcul facile).

(8)

d'espèce des configurations continues non alignées est constituée par 8 composantes convexes triangulaires (choix de la masse au centre + orientation du triangle) et 6 composantes convexes convexes (ordre des masses rencontrées à partir de  $m_1$ ). Par le lemme de 2.1, il suffit d'étudier 1 composante convexe triangulaire et 1 composante convexe convexe (les points critiques de  $F$  ne pouvant changer de composante convexe lorsque les masses varient). On étudiera par exemple



Dans le cas (A), une configuration centrale point critique de  $F$  vérifie  $r_{12}, r_{13}, r_{23} > 1$  et  $r_{14}, r_{24}, r_{34} < 1$ . Dans le cas (B), on a  $r_{12}, r_{23}, r_{34}, r_{41} < 1$  et  $r_{13}, r_{24} > 1$ .

### 2.3 Quelques situations particulières.

#### 2.3.1 Situation équilatérale. (cf. Palmore).

On suppose qu'on a  $m_1 = m_2 = m_3 = m < 1/3$ ,  $m_4 = \mu = 1 - 3m$ ; la configuration où  $m_1, m_2, m_3$  sont au sommet d'un triangle équilatéral, et  $m_4$  à son centre, est centrale (pour des raisons de symétrie), et point critique de  $F$  pour un bon choix du côté du triangle: si  $a$  est ce côté, on a:

$$\begin{aligned} F(r) &= 3m^2 \left( a^{-1} + \frac{1}{2} \frac{a^2}{r^2} \right) + 3m\mu \left[ \left( \frac{a}{\sqrt{3}} \right)^{-1} + \frac{1}{2} \frac{a^2}{r^2} \right] \\ &= 3m \left\{ a^{-1} (m + \sqrt{3}\mu) + \frac{1}{2} a^2 \left( m + \frac{1}{3}\mu \right) \right\} \end{aligned}$$



$$d' \frac{c}{m} = 0^3 = \frac{m + \sqrt{3} \rho}{m + \frac{1}{3} \rho} \quad (\text{ou a l'inverse } 1 < m < \sqrt{3})$$

En plaçant l'origine en  $m_4$ , on a  $\sum_{i=1}^3 r_i = 0 = r_4$ . Pour étudier les configurations voisines, choisissons pour "coordonnées" de déformation affine les réels  $x_1, x_2, x_3$  tels que  $\sum_{i=1}^3 x_i r_i = r_4$  et  $\sum x_i = 0$ , tout en continuant à imposer  $\sum_{i=1}^3 r_i = 0$ .

En minimisant  $F$  dans chaque fibre de  $E^+$ , on obtient une fonction  $\Phi(x_1, x_2, x_3)$  qui prend la forme (pour raisons de symétrie

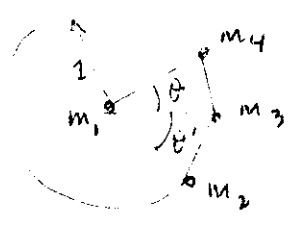
$$\Phi(x_1, x_2, x_3) = b(m) \sum x_i^2,$$

et on peut vérifier (par un calcul assez long!) que  $b$  a un seul zéro, simple, dans  $[0, \frac{1}{3}]$ . Lorsque  $m$  prend cette valeur, la configuration centrale correspondante est point critique de  $F$ , dégénéré.

2.3.2 Premier cas dégénéré.  $m_1 \rightarrow 1$ .

On suppose la masse  $m_1$  infiniment plus lourde que les autres.

On aura alors  $r_{12} = r_{13} = r_{14} = 1$ , si  $r$  est un point critique de  $F$ .



on pose  $\rho = m_4 m_3^{-1}$ ,  $\rho' = m_2 m_3^{-1}$

(A) Dans le cas convexe, on doit avoir  $0 < \theta < \pi/3$ ,  $0 < \theta' < \pi/3$ ,  $\theta + \theta' > \pi/3$

(car  $r_{24} > 1$ ,  $r_{23}, r_{34} < 1$ ), et la fonction  $F$  dégénère en:

$$\hat{F} = \rho f(\theta/2) + \rho' f(\theta'/2) + \rho\rho' f(\frac{\theta + \theta'}{2}), \text{ avec}$$

$$f(x) = 2 \sin^2 x + (2 \sin x)^{-1}$$

$$f'(x) = \frac{(8 \sin^3 x - 1) \cos x}{2 \sin^2 x}$$

Pour une configuration convexe, il existe donc  $c > 0$  tel qu'on ait:

$$p^{-1} = -c f'(\theta/2) = m_3 \quad m_4^{-1} = \frac{m_3}{m_2 m_4} m_2$$

$$p'^{-1} = -c f'(\theta'/2) = m_3 \quad m_2^{-1} = \frac{m_3}{m_1 m_4} m_4$$

$$(pp')^{-1} = c f'(\frac{\theta+\theta'}{2}) = m_3^2 \quad m_2^{-1} m_4^{-1} = \frac{m_3}{m_2 m_4} m_3$$

Or on a  $f'(\theta/2) = 0$  pour  $\theta = \pi/3$ ,  $f'(\theta'/2) = 0$  pour  $\theta' = \pi/3$   
 et  $f'(\frac{\theta+\theta'}{2}) = 0$  pour  $\theta+\theta' = \pi/3$ .

Les formules ci dessus expriment qu'à une configuration du type envisagé correspond exactement un choix de masses (relatives) de  $m_2, m_3, m_4$  de façon que cette configuration soit centrée. Cette correspondance envoie le bord du triangle des configurations

(i.e.  $\theta = \pi/3, \theta' = \pi/3, \theta+\theta' = \pi/3$ ) sur le bord du triangle des masses ( $m_2=0, m_4=0, m_3=0$ ) et on vérifie sans peine qu'elle n'a pas de points critiques. (il faut vérifier qu'on ne peut avoir  $\frac{f'}{f''}(x) + \frac{f'}{f''}(x') = \frac{f'}{f''}(x+x')$  pour  $0 < x, x' < \pi/6$ ,

~~$x+x' > \pi/6$ , or  $f'/f''$  est négative sur  $[0, \pi/6]$ , positive  $x+x' > \pi/6$ , ce qui se fait sans mal avec une calculatrice).~~

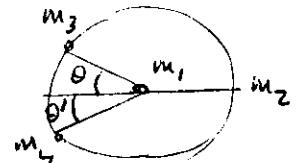
En conclusion il existe donc en 1 seule configuration convexe.

(B) dans le cas triangulaire, les conditions sont:

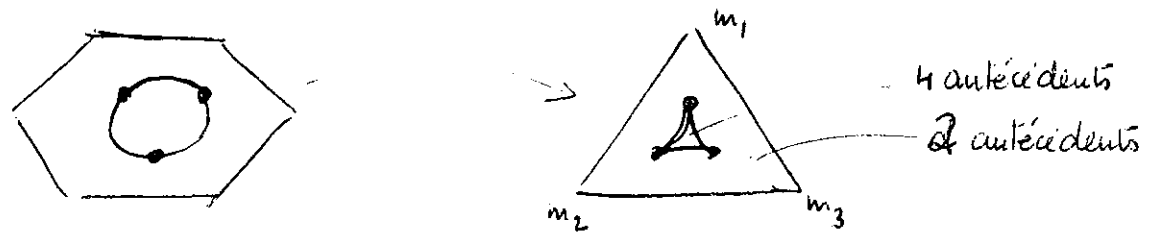
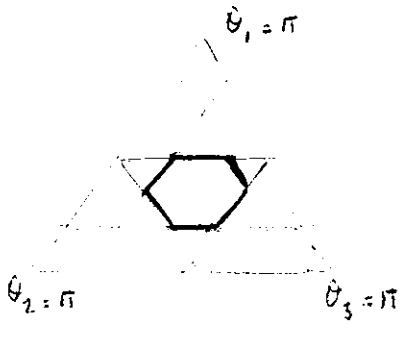
$$\pi/3 < \theta + \theta' < \pi, \quad 0 < \theta, \theta' < 2\pi/3$$

ou encore (en posant  $\theta_1 = \theta/2, \theta_2 = \theta'/2, \theta_3 = \frac{\pi - \theta + \theta'}{2}$ :

$$\theta_1 + \theta_2 + \theta_3 = \pi, \quad \pi/6 < \theta_i < \pi/2$$



qui définit un hexagone. On a de nouveau une application analytique qui envoie l'hexagone admissible sur le triangle des masses, et le bord sur le bord (avec degré 2), mais cette fois-ci l'application a une courbe lisse de points critiques, qui sont de type pli sauf trois d'entre eux qui sont des cusps. (A vrai dire je ne l'ai que partiellement vérifié par calculs). Le diagramme suivant montre points et valeurs critiques, ainsi que le nombre d'antécédents :



Dans l'espace des configurations affines (i.e  $P^2(\Sigma)$ ) on a soit deux selles critiques, soit 3 selles et un maximum (soit, sur l'image du lieu critique, des singularités non de Morse).

2.3.3. Lorsque  $m_1, m_2$  sont beaucoup plus grands que  $m_3, m_4$  on peut traiter complètement la situation par le calcul. On obtient :

- pour chaque cellule convexe de configurations affines, une configuration centrale qui est un minimum non dégénéré
- pour chaque cellule triangulaire, deux selles non dégénérées.

Les singularités sont toujours de Morse dans ce cas ; il n'y a pas de bifurcations.

2.34 Lorsque  $m_1, m_2, m_3$  sont beaucoup plus grands que  $m_4$ , ces masses occupent une des configurations centrales à 3 corps collinéaire (Euler) (et la quatrième masse ne peut être sur cette droite) ou équilatérale (Lagrange). On retrouve le même type de discussion qu'en 2.3.2, sans bifurcations dans le cas convexe (il y a toujours exactement un point critique, minimum non dégénéré dans chaque cellule), et une ligne de plis avec 3 cusps dans le cas triangulaire, lorsque la masse  $m_4$  se trouve à l'intérieur du triangle équilatéral formé par les trois autres masses.

2.4 Description conjecturale des configurations centrales et de leurs bifurcations.

2.4.1 Le cas convexe.

Conjecture 1. Il y a toujours exactement 1 configuration centrale par cellule convexe, qui est minimum non dégénéré de  $F$  dans  $\mathbb{P}(\Sigma)$ .

2.4.2 Le cas triangulaire. Considérons la situation (A)

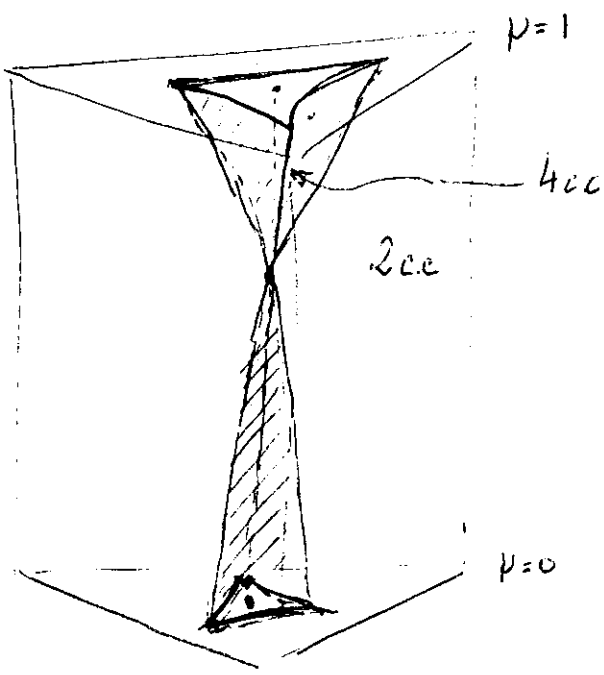
Conjecture 2. Nous commençons par changer légèrement l'intitulé des paramètres masses en posant:

$$p = m_4, \quad p_i = \frac{m_i}{1-p} \quad \text{pour } 1 \leq i \leq 3$$

et travaillons dans le prisme compact  $\{0 \leq p \leq 1, p_i \geq 0, \sum p_i = 1\}$

Conjecture 2. En considérant  $F$  comme une famille à 3 paramètres d'applications analytiques définies dans la cellule (A) de configurations triangulaires affines (dans une famille à trois paramètres de fonctions de deux variables),  $F$  est le déploiement universel de l'ombilic elliptique qui prend place pour la valeur  $(p_1 = p_2 = p_3 = m)$  ~~ou  $m$  est la valeur critique considérée en 2.4~~ ou  $m$  est la valeur  $p_1 = p_2 = p_3 = m$ , où  $m$  est la valeur critique considérée en 2.4

En dehors d'une hypersurface analytique singulière  $V$  il y a soit 4 configurations centrales (3 selles et 1 maximum, ou 3 selles et un minimum) soit 2 configurations centrales (2 selles)



## 2.5 Remarques pour conclure -

2.5.1 Suivant le modèle proposé, il y aurait (en incluant de nouveau les configurations collinéaires) entre 34 et 50 configurations conformes centrales pour 4 corps dans le plan.

Il y a en particulier (cela est vérifiable) 34 configurations lorsque deux des masses sont beaucoup plus lourdes que les deux autres :

- 12 configurations collinéaires
- 6 convexes
- 16 triangulaires

Il y aurait, lorsque les 4 masses sont égales, 50 conf. centrales :

- 12 collinéaires
- 6 convexes
- 32 triangulaires.

Lorsque trois masses sont égales, et d'un ordre de grandeur différent de la quatrième, on aurait 38 conf. centrales

- 12 collinéaires
- 6 convexes
- 20 triangulaires.

2.5.2 Le modèle proposé est, il me semble, le plus simple qui tienne en compte les symétries du problème et les résultats partiels connus. Si ce modèle est conforme à la réalité, il doit être possible de le démontrer à l'aide d'un ordinateur (mais cela demande visiblement des compétences

uniformitaires (parce que je n'en fais pas), en effet, le modèle représente une bifurcation générique de singularité (l'oubli de l'ellipticité) et il est stable par petites perturbations (préservant les symétries); il n'y a donc à vérifier que des conditions de transversalité dans des espaces de jets, et ceci seulement en un ensemble discret de points, car on dispose d'un bon contrôle des dérivées de n'importe quel ordre des familles de fonctions considérées. Mais je dois reconnaître que cela est plus facile à dire théoriquement qu'à exécuter pratiquement!